

東海大学 正会員 ○星田 義祐
東海大学 正会員 市川 勉

不圧帶水層から地下水を揚水するときに、井戸群の内外で水位の不連続（これを井戸ロスと呼ぶ）が現われる。この原因として考えられる井戸群にあるストレーナの抵抗、井戸群の近くの帶水層内の鉛直流の2つについて、それぞれの大きさを定量的に計算する。

井戸群にあるストレーナを地下水が通過するときの抵抗による井戸ロスの大きさを求める式は、無次元表示をすると、

$$Z_0 = \alpha \sqrt{g_s - g_w} \frac{2g_s + g_w}{3} \quad (1)$$

となる。¹⁾ 定常状態では、 $Z_0 = Z_s$ である。

ここに、 $Z_s = Q_s / (2\pi k H^2)$ 、 $Z_0 = Q_0 / (2\pi k H^2)$ 、 $Q_s = Q_1 + Q_2$ 、 $g_s = h_s/H$ 、 $g_w = h_w/H$ 、 $\alpha = T_w K / (k H^2)$ 、 $K = \sqrt{2Gf}$ 、 G ；重力の加速度、 f ；ストレーナの抵抗係数、 k ；透水係数、 Q_0 ；一定揚水量、 H 、 h_s 、 h_w 、 Q_1 、 Q_2 は、図1の不圧帶水層モデルの記号による。

井戸群の近くの帶水層内の鉛直流による井戸ロスは、鉛直流を考慮した2オーダの近似解と鉛直流を考慮していないThiemの解を比べることで得られる。

2オーダの近似解は、無次元表示すると、

$$g_s = 1 + (\varepsilon C) \log \frac{x}{R_m} + (\varepsilon C)^2 \frac{x}{f^2} \left[\frac{x^2}{2} + C_1 \left(\frac{x^2}{2} - \frac{x^2}{3} \right) + C_2 \left(\frac{x^3}{3} - \frac{x^4}{4} \right) \right] \quad (2)$$

$$\varepsilon C = \frac{1 \pm \sqrt{1 - 4(2A/\delta^2 + \log R_m)Z_0}}{2(2A/\delta^2 + \log R_m)} \quad (3)$$

となる。ここに、

$$A = \frac{1}{6} + \frac{1}{12} C_1 + \frac{1}{30} C_2$$

であり、 C_1 および C_2 は、

$$\frac{4}{5\delta^2} \left(1 - \frac{1}{R_m} \right) \left(\frac{1}{45} + \frac{13}{1260} C_1 + \frac{1}{224} C_2 \right) + \frac{1}{3} \left(1 - \frac{1}{R_m^3} \right) \left(\frac{1}{12} - \frac{1}{30} C_1 + \frac{1}{60} C_2 \right) = 0$$

$$\frac{4}{5\delta^2} \left(1 - \frac{1}{R_m} \right) \left(\frac{5}{504} + \frac{1}{224} C_1 + \frac{1}{504} C_2 \right) + \frac{1}{3} \left(1 - \frac{1}{R_m^3} \right) \left(\frac{1}{30} - \frac{1}{60} C_1 + \frac{1}{105} C_2 \right) = 0$$

の連立方程式を解いて得られる。また、 $\delta = T_w H$ 、 $x = r/R_m$ 、 $R_m = R/\delta$ であり、 x は、鉛直軸座標、他の記号は、前述したものと同じである。式(2)の $x=1$ における解が、井戸群のすぐ外側の水位を示す。一方、不圧帶水層におけるThiemの式は、無次元表示すると、

$$g_w = \sqrt{1 - 2Z_0 \log R_m} \quad (4)$$

式(4)は、根号内が負になると、意味を持たなくなるが、特別な場合として、水位が井底より低くなることが考えられる。

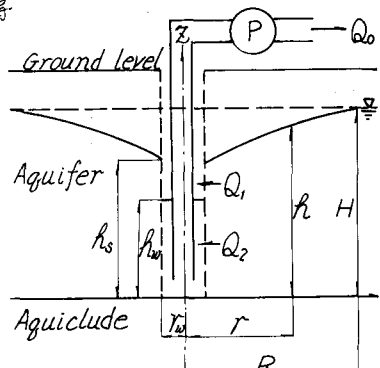


図1 不圧帶水層モデル

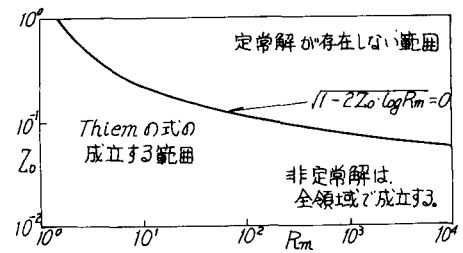
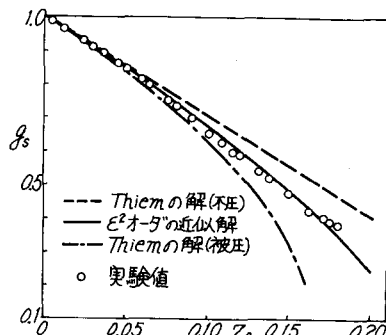


図3 Thiemの式の成立限界

式(4)の成立範囲を図2に示す。図2は、 Z_0 が大きい時、涵養半径 R_m が小さくなること、定常解が存在しないことを示す。



ないことを図3 Thiemの式、近似解、実験値の比較($R_m=20$)示している。式(3)も同様に、根号内が負になると、ECが意味を持たなくなるが、Thiemの解と同様に、この正負は、 Z_0 と $\log R_m$ の関係によって左右される。式(2)と式(4)および実験値の関係を図3に示す。図4は、井戸内の水位 g_w と井戸ロス($g_s - g_w$)の関係を示したものである。図4では、実験値との整合性がやや悪いが、近似解と野満の解とは、ほぼ一致している。式(1)の関係を図5に示す。式(1)および図5に現われる無次元抵抗係数 α は、実験値で定められる。この値を図6に示す。これらの関係より、井戸ロスを構成する井戸枠の抵抗と鉛直流のそれとの大きさを決定する要素は、涵養半径 R 、抵抗係数 α と汲み出し量 Z_0 の3つであることがわかる。式(2)と式(4)では、 $R_m > 50$ ぐういで $g_s \approx g_w$ となり、井戸ロスは、鉛直流の影響が存在しなくなるので、すべて井戸枠の抵抗によるものと考えられる。 R_m が大きい時に、定常状態が発生するためには、 Z_0 が小さいことが必要であり、 Z_0 が小さいときは、井戸内の水位が下がっても帶水層内の水面勾配がゆるやかになってしまい、鉛直流は発生しにくくなるものと思われる。このことを図7に示す。

いま、一例として、開孔率9%，汲み出し量 $Z_0 = 0.12$ ，涵養半径 $R_m=20$ の場合について、抵抗および鉛直流による井戸ロスの大きさをそれぞれ計算する。図6より、 $\alpha = 9\%$ 、 $Z_0 = 0.12$ より $\alpha = 0.585$ となるので、 $Z_0\alpha = 0.205$ となる。次に、図4より、 $Z_0 = 0.12$ に対応する $g_s \approx g_w$ を求めるとき、図5より、 $g_w = 0.12$ (実測)、井戸ロス $g_s - g_w = 0.53$ となる。また、式(4)と(2)より、それと $g_s \approx 0.53$ 、 $g_w = 0.12$ となり。井戸ロスは、 $g_s - g_w = 0.07$ となる。この例では、鉛直流による井戸ロスは、抵抗による井戸ロスよりも小さいので、抵抗による井戸ロスの中に含まれてしまうことになる。

参考文献 1) 星田瀬野利則・前原：揚水における井戸枠の抵抗の評価に関する一報(一) 土木学会論文報告集 第273号 1978年7月, 2) T. NOMITSU; An Advance in the Theory of Wells, I. Steady States; 日本天文学会誌・地球物理学集報 12, 1935, pp.159~171.

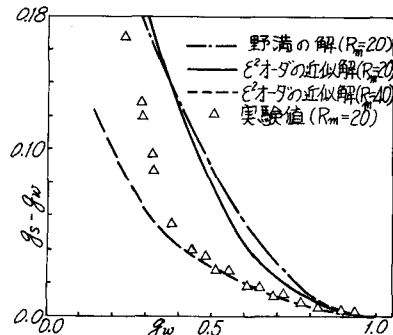


図4 井戸内の水位と井戸ロスの関係

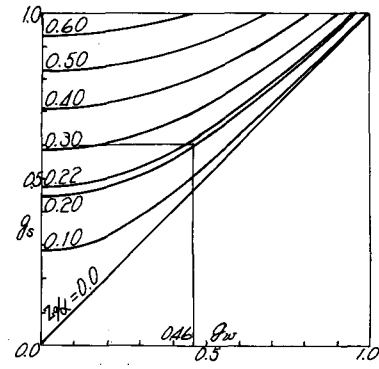


図5 gsとgwの関係

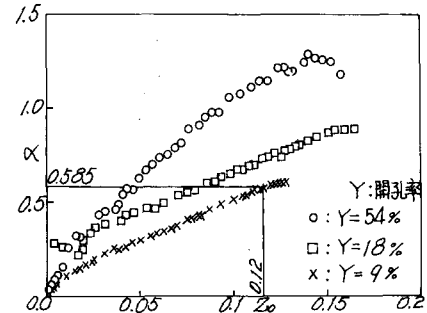


図6. 無次元抵抗係数 α と無次元汲み出し量 Z_0 の関係

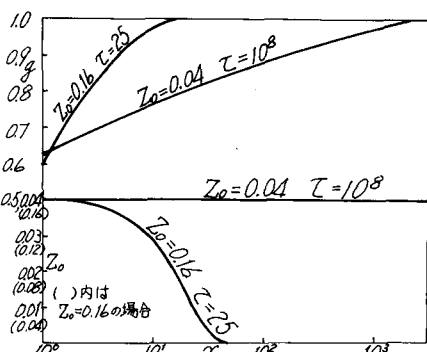


図7 gwとZ0の半径方向の変化